

О ФОРМАХ УСТОЙЧИВЫХ ПОЛУСВОДОВ И СВОДОВ

В. В. Соколовский

(Москва)

В настоящей работе исследовано плоское предельное равновесие связной среды со свободными контурами, которое сопровождается кривыми разрыва. Рассмотрено предельное равновесие полусводов и сводов, возникающее от собственного веса, и дан прием определения кривых разрыва и свободных контуров. Окончательные результаты найдены численно, а в некоторых частных случаях даны в замкнутой форме.

§ 1. Полусводы и своды в связной среде. Рассмотрим сначала связную среду*, которая наряду со сцеплением обладает внутренним трением, и установим для такой среды предельные формы устойчивых полусводов и сводов.

Плоское предельное равновесие связной среды с объемным весом γ , коэффициентом сцепления k и углом внутреннего трения ρ , как известно^[1], описывается дифференциальными уравнениями равновесия (ось y направлена вниз)

$$\frac{\partial \sigma_x}{\partial x} + \frac{\partial \tau_{xy}}{\partial y} = 0, \quad \frac{\partial \tau_{xy}}{\partial x} + \frac{\partial \sigma_y}{\partial y} = \gamma \quad (1.1)$$

и условием предельного состояния

$$\frac{1}{4}(\sigma_x - \sigma_y)^2 + \tau_{xy}^2 = \frac{\sin^2 \rho}{4}(\sigma_x + \sigma_y + 2H)^2, \quad H = k \operatorname{ctg} \rho \quad (1.2)$$

причем для компонент напряжения принято правило знаков, обычное в теории сыпучих тел: положительные нормальные напряжения вызывают сжатие, а отрицательные нормальные напряжения — растяжение.

Эту систему уравнений удобно преобразовывать путем перехода от компонент напряжения к новым переменным σ и φ по формулам

$$\left. \begin{matrix} \sigma_x \\ \sigma_y \end{matrix} \right\} = \sigma (1 \pm \sin \rho \cos 2\varphi) - H, \quad \tau_{xy} = \sigma \sin \rho \sin 2\varphi \quad (1.3)$$

в которых φ — угол между наибольшим главным нормальным напряжением и осью x .

Внося в дифференциальные уравнения равновесия (1.1) выражения

* Применяемое здесь название «связная среда», в отличие от обычного «сыпучая среда», должно подчеркивать то обстоятельство, что сцепление всегда существует ($k \neq 0$), а внутреннее трение может иногда отсутствовать ($\rho = 0$).

(1.3), найдем

$$(1 + \sin \rho \cos 2\varphi) \frac{\partial \sigma}{\partial x} + \sin \rho \sin 2\varphi \frac{\partial \sigma}{\partial y} - 2\sigma \sin \rho \left[\sin 2\varphi \frac{\partial \varphi}{\partial x} - \cos 2\varphi \frac{\partial \varphi}{\partial y} \right] = 0 \quad (1.4)$$

$$\sin \rho \sin 2\varphi \frac{\partial \sigma}{\partial x} + (1 - \sin \rho \cos 2\varphi) \frac{\partial \sigma}{\partial y} + 2\sigma \sin \rho \left[\cos 2\varphi \frac{\partial \varphi}{\partial x} + \sin 2\varphi \frac{\partial \varphi}{\partial y} \right] = \gamma$$

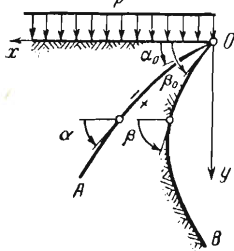
или после некоторых преобразований будем иметь

$$\left[\frac{\partial \sigma}{\partial x} \mp 2\sigma \operatorname{tg} \rho \frac{\partial \varphi}{\partial x} \right] + \operatorname{tg}(\varphi \mp \mu) \left[\frac{\partial \sigma}{\partial y} \mp 2\sigma \operatorname{tg} \rho \frac{\partial \varphi}{\partial y} \right] = \gamma [\operatorname{tg}(\varphi \mp \mu) \mp \operatorname{tg} \rho] \quad (1.5)$$

Полученная система уравнений принадлежит к гиперболическому типу и имеет два вещественных семейства характеристик, которые определяются известными дифференциальными уравнениями

$$dy = dx \operatorname{tg}(\varphi \mp \mu), \quad d\sigma \mp 2\sigma \operatorname{tg} \rho d\varphi = \gamma (dy \mp \operatorname{tg} \rho dx) \quad (1.6)$$

Характеристики на плоскости xy образуют два семейства линий, пересекающихся между собой под одинаковыми углами $2\mu = \frac{1}{2}\pi - \rho$ и наклоненных к оси x под углами $\varphi \mp \mu$. Они совпадают с линиями скольжения, которые имеют большое значение в теории предельного равновесия.



Фиг. 1

Займемся определением поля напряжений и предельного контура устойчивого полусвода, переходящего в нижней части в откос, предполагая, что вдоль горизонтальной границы — положительной полуоси x задано равномерно распределенное нормальное давление $\sigma_y = p$ (фиг. 1).

Будем рассматривать небольшие значения давления p , когда предельное равновесие полусвода сопровождается кривой разрыва OA , на которой хотя и сохраняется равновесие, но нет полной непрерывности напряжений.

Условимся через α и β обозначать углы между осью x и касательными к кривым OA и OB , а через α_0 и β_0 их значения в верхней точке O .

В области xOA имеет место простейшее поле напряжений, определяемое величинами

$$\sigma = \sigma(y) = \frac{\gamma y + p + H}{1 + \sin \rho}, \quad \varphi = \frac{1}{2} \pi \quad (1.7)$$

или компонентами напряжения

$$\sigma_x + H = (\gamma y + p + H) \frac{1 - \sin \rho}{1 + \sin \rho}, \quad \sigma_y = \gamma y + p, \quad \tau_{xy} = 0,$$

а сетка характеристик состоит из двух семейств параллельных прямых:

$$y = \pm x \operatorname{ctg} \mu + \text{const}$$

Остановимся теперь на граничных условиях вдоль кривых OA и OB , применяя систему координат tn , повернутую по отношению к системе xy на угол ε . Легко показать, что

$$\left. \begin{matrix} \sigma_t \\ \sigma_n \end{matrix} \right\} = \sigma [1 \pm \sin \rho \cos 2(\varphi - \varepsilon)] - H, \quad \tau_{tn} = \sigma \sin \rho \sin 2(\varphi - \varepsilon) \quad (1.8)$$

Прежде всего ясно, что вдоль кривой OA , которая образует с осью x переменный угол α , компоненты напряжения σ_n и τ_{tn} должны быть

непрерывны, а компонента σ_t может иметь конечный разрыв. Следовательно, из уравнений (1.7) и (1.8) при $\varepsilon = \alpha$ получим

$$\begin{aligned}\sigma [1 - \sin \rho \cos 2(\varphi - \alpha)] &= \sigma(y) (1 + \sin \rho \cos 2\alpha) \\ \sigma \sin 2(\varphi - \alpha) &= \sigma(y) \sin 2\alpha\end{aligned}$$

и скачок компоненты напряжения

$$\sigma_t^+ - \sigma_t^- = 2\sigma \sin \rho \frac{\sin 2\varphi}{\sin 2\alpha} = 4\sigma \sin \rho \frac{\cos \varphi \cos (2\alpha - \varphi)}{1 + \sin \rho \cos 2\alpha} \geq 0$$

Отсюда, после простых преобразований, следуют соотношения

$$\sin (2\alpha - \varphi) = \sin \rho \sin \varphi, \quad \cos (2\alpha - \varphi) \geq 0,$$

устанавливающие, что

$$0 \leq 2\alpha - \varphi \leq \frac{1}{2}\pi$$

Кроме того будем иметь

$$\frac{dy}{dx} = \operatorname{tg} \alpha, \quad \sigma = \sigma(y) \frac{\sin 2\alpha}{\sin 2(\varphi - \alpha)} = \sigma(y) \frac{1 + \sin \rho \cos 2\alpha}{1 - \sin \rho \cos 2(\varphi - \alpha)} \quad (1.9)$$

Далее, очевидно, что вдоль кривой OB компоненты напряжения $\sigma_n = \tau_{tn} = 0$, а компонента $\sigma_t > \sigma_n$. Поэтому на основании приведенных выше уравнений (1.8) при $\varepsilon = \beta$, найдем

$$\frac{dy}{dx} = \operatorname{tg} \beta, \quad \varphi = \beta, \quad \sigma = \frac{H}{1 - \sin \rho} \quad (1.10)$$

В области AOB поле напряжений уже не будет простейшим и может быть найдено путем численного решения уравнений характеристик (1.6) по приведенным выше граничным данным (1.9) и (1.10) вдоль кривых OA и OB .

Значения углов $\alpha = \alpha_0$ и $\beta = \beta_0$ в верхней точке O выражаются через заданное давление p . Действительно, полагая $\alpha = \alpha_0$ и $\varphi = \beta_0$, получим

$$\sin (2\alpha_0 - \beta_0) = \sin \rho \sin \beta_0, \quad 0 \leq 2\alpha_0 - \beta_0 \leq \frac{1}{2}\pi \quad (1.11)$$

а приравнивая величины σ взятые при $y = 0$ по прежним формулам (1.9) и (1.10), найдем зависимость между давлением p и углом β_0 в виде

$$p + H = H \frac{1 + \sin \rho}{1 - \sin \rho} \frac{\sin 2(\beta_0 - \alpha_0)}{\sin 2\alpha_0} = H \left[\frac{\sin \rho \cos \beta_0 - \sqrt{1 - \sin^2 \rho \sin^2 \beta_0}}{1 - \sin \rho} \right]^2 \quad (1.12)$$

Значения α_0 , β_0 и p изменяются в пределах

$$0 \leq \alpha_0 \leq \frac{1}{2}\pi - \mu, \quad 0 \leq \beta_0 \leq \frac{1}{2}\pi, \quad 0 \leq p \leq P = \frac{2H \sin \rho}{1 - \sin \rho}$$

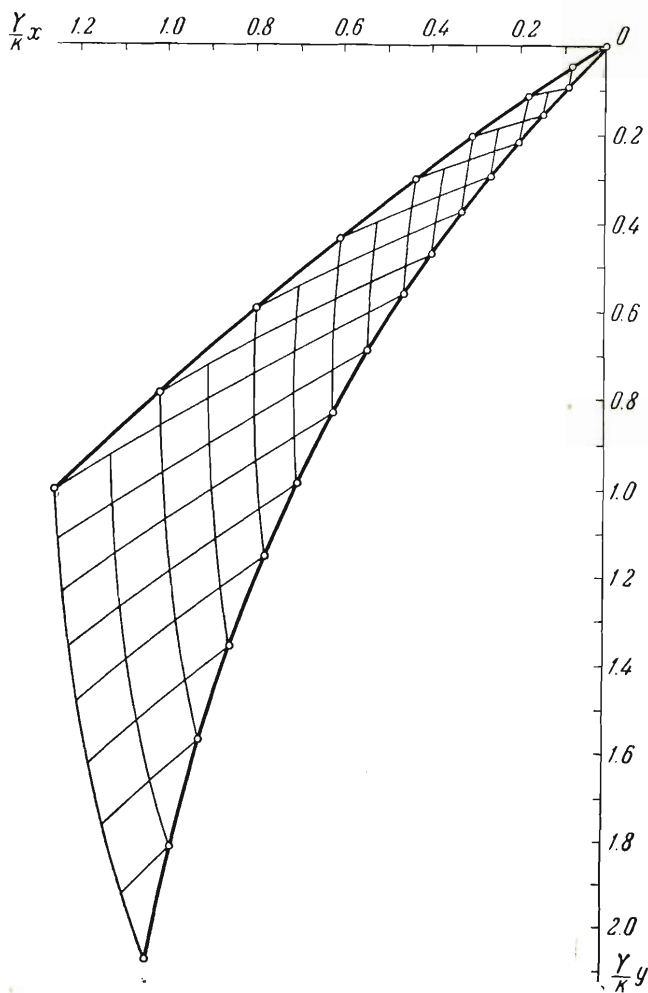
причем $\beta_0 = 0$ соответствует $p = 0$, а $\beta_0 = \frac{1}{2}\pi$ отвечает $p = P$.

Нетрудно показать, что при малых значениях углов α_0 и β_0 вместо (1.11) и (1.12) приближенно имеют место такие формулы:

$$\alpha_0 = (1 + \sin \rho) \frac{\beta_0}{2}, \quad p = H \sin \rho \beta_0^2 = k \cos \rho \beta_0^2$$

Отсюда следует, что при фиксированных p и k углы α_0 и β_0 возрастают с увеличением угла внутреннего трения ρ .

Заметим, что при $\gamma = 0$ искомые кривые OA и OB становятся прямыми, а полусвод переходит в невесомый остроугольный клин из связанной среды, уже рассмотренный Г. С. Шапиро ^[2] в несколько иной форме.



Фиг. 2

Углы $\alpha = \alpha_0$ и $\beta = \beta_0$ наклона указанных прямых OA и OB к оси x определяются теми же формулами (1.11) и (1.12), а при малых значениях — соответствующими приближенными формулами, впервые полученными Р. Шилдом ^[3].

Действие собственного веса полностью изменяет вид предельного равновесия связанной среды. Кривая OA искривляется, так что при движении от точки O угол α увеличивается от $\alpha = \alpha_0$ до $\alpha = \frac{1}{2}\pi - \mu$ на бесконечности; при этом величина скачка компоненты напряжения σ_t постепенно убывает до нуля. Контур OB искривляется еще более значительно, так что при движении от точки O угол β увеличивается от $\beta = \beta_0$ до $\beta = \pi - \rho$ на бесконечности.

Особенно сильно сказывается влияние собственного веса при отсутствии нормального давления, когда $p = 0$; невесомый клин вырождается при этом в горизонтальную полупрямую — положительную полуось x , а весомый полусвод имеет лишь горизонтальную касательную в одной точке O .

В качестве примера проведено решение задачи для $\rho = 1/6 \pi$, $\beta_0 = 1/4 \pi$ обычными [1] методами численного интегрирования уравнений (1.6). Построена сетка характеристик — линий скольжения (фиг. 2); найдены безразмерные координаты $\gamma x/k$ и $\gamma y/k$ точек кривой разрыва:

| | | | | | | | |
|---------------------|------|------|------|------|------|------|------|
| $\gamma x/k = 0.08$ | 0.18 | 0.30 | 0.43 | 0.60 | 0.79 | 1.01 | 1.25 |
| $\gamma y/k = 0.05$ | 0.12 | 0.21 | 0.30 | 0.44 | 0.59 | 0.79 | 1.01 |

и точек искомого контура:

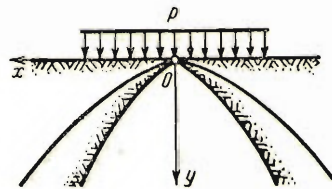
| | | | | | | | |
|---------------------|------|------|------|------|------|------|------|
| $\gamma x/k = 0.00$ | 0.09 | 0.14 | 0.20 | 0.27 | 0.33 | 0.40 | 0.46 |
| $\gamma y/k = 0.00$ | 0.09 | 0.15 | 0.22 | 0.29 | 0.38 | 0.47 | 0.56 |
| $\gamma x/k = 0.54$ | 0.62 | 0.70 | 0.78 | 0.86 | 0.93 | 1.00 | 1.05 |
| $\gamma y/k = 0.70$ | 0.83 | 0.99 | 1.16 | 1.36 | 1.57 | 1.82 | 2.09 |

Заметим, что при $p = P$ углы

$$\alpha = \alpha_0 = \frac{1}{2} \pi - \mu, \quad \beta_0 = \frac{1}{2} \pi$$

а кривая разрыва вырождается в прямую, наклоненную к оси x под углом $1/2 \pi - \mu$, т. е. переходит в характеристику, на которой нет разрывов. При этом нависающая часть отсутствует и остается лишь откос, имеющий в точке O вертикальную касательную.

Приведенные выше рассуждения могут быть полностью применены к нахождению поля напряжений и предельного контура устойчивого свода, предполагая, что вдоль горизонтальной границы — оси x задано равномерно распределенное нормальное давление $\sigma_y = p$, поскольку такой свод состоит из двух одинаковых полусводов, симметричных относительно оси y (фиг. 3).



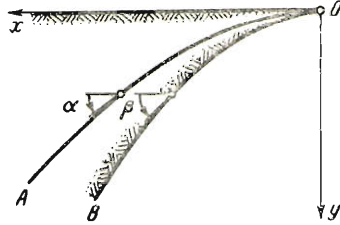
Фиг. 3

Подобный свод можно считать за свод обрушения, который образуется над выработкой при небольшой глубине ее заложения от горизонтальной границы. При этом действие вышележащего слоя связной среды высотой h следует рассматривать как равномерно распределенное нормальное давление $\sigma_y = p = \gamma h$, приложенное вдоль оси x .

Такой свод при очень малых глубинах заложения может замениться двумя отдельными полусводами, нависающими над выработкой.

§ 2. Некоторые приближенные решения. Построим приближенные решения в двух частных случаях, обладающих известными специфическими свойствами.

Начнем со случая, когда нормальное давление $p = 0$ и, следовательно, контур полусвода в верхней точке O имеет горизонтальную касательную (фиг. 4). Покажем, как построить приближенное решение около точки O в замкнутой форме. Положим



Фиг. 4

$$\sigma = \sigma_0 - S, \quad \varphi = \Phi, \quad \sigma_0 = \frac{H}{1 - \sin \rho} \quad (2.1)$$

и будем считать S , Φ и x , y малыми величинами; порядок малости x и y различен, так что y/x — мало.

Внесем в уравнения (1.4) величины (2.1), а затем, оценивая порядок различных членов, отбросим те из них, которые малы по сравнению с остальными. Приближенно получим

$$\frac{\partial \Phi}{\partial y} = 0, \quad (1 - \sin \rho) \frac{\partial S}{\partial y} = 2\sigma_0 \sin \rho \frac{\partial \Phi}{\partial x} - \gamma$$

Эти уравнения имеют такие интегралы:

$$\Phi = \Phi(x), \quad (1 - \sin \rho) S = [2\sigma_0 \sin \rho \Phi'(x) - \gamma] y + f(x) \quad (2.2)$$

содержащие две произвольные функции от x .

Условия (1.9) вдоль кривой OA , определяемой уравнением $y = y_1(x)$, могут быть представлены следующим образом:

$$\frac{dy_1}{dx} = \alpha = (1 + \sin \rho) \frac{\Phi}{2}, \quad S = \frac{H \sin \rho \Phi^2 - \gamma y_1}{1 - \sin \rho} \quad (2.3)$$

а условия (1.10) вдоль кривой OB , даваемой уравнением $y = y_2(x)$, могут быть написаны так:

$$\frac{dy_2}{dx} = \beta = \Phi, \quad S = 0 \quad (2.4)$$

Интегралы (2.2), после определения произвольных функций $\Phi(x)$ и $f(x)$ из условий (2.3) и (2.4), позволяют найти уравнения кривых OA и OB , а также функции Φ и S . Прежде всего нетрудно получить следующее уравнение:

$$\frac{dy_2}{dx} = \frac{2}{1 + \sin \rho} \frac{dy_1}{dx}$$

которое вместе с граничным условием $y_1 = y_2$ при $x = 0$ устанавливает, что

$$y_2 = \frac{2y_1}{1 + \sin \rho}, \quad \beta = \frac{2\alpha}{1 + \sin \rho}$$

Далее легко найти

$$S = \frac{2\sigma_0 \sin \rho \Phi'(x) - \gamma}{1 - \sin \rho} [y - y_2(x)]$$

а также получить следующее уравнение:

$$\frac{d\alpha}{dx} + \frac{\alpha^2}{y_1} = \frac{\gamma(1 + \sin \rho)}{2H \sin \rho}$$

которое на основании условия $dy_1 = \alpha dx$ принимает такой вид:

$$\frac{d\alpha^2}{dy_1} + \frac{2\alpha^2}{y_1} = \frac{\gamma(1 + \sin \rho)}{H \sin \rho}$$

Это уравнение может быть без труда проинтегрировано:

$$\alpha^2 = \frac{\gamma(1 + \sin \rho)}{3H \sin \rho} \left(y_1 + \frac{C}{y_1^2} \right)$$

причем вследствие граничного условия $\Phi = 0$ при $y_1 = 0$ присутствующая здесь произвольная постоянная $C = 0$. Уравнение

$$\frac{dy_1}{dx} = \alpha = \sqrt{\frac{\gamma(1 + \sin \rho)}{3H \sin \rho}} y_1$$

должно быть проинтегрировано с учетом граничного условия $y_1 = 0$ при $x = 0$.

Окончательно найдем уравнения кривых OA и OB в виде

$$y = \frac{\gamma(1 + \sin \rho)x^2}{12H \sin \rho}, \quad y = \frac{\gamma x^2}{6H \sin \rho} \quad (2.5)$$

а также получим искомые функции

$$\Phi = \frac{\gamma x}{3H \sin \rho}, \quad S = \frac{\gamma(1 - 3 \sin \rho)}{3(1 - \sin \rho)^2} \left[\frac{\gamma x^2}{6H \sin \rho} - y \right] \quad (2.6)$$

которые приближенно верны около верхней точки O .

Приведем также углы наклона кривых OA и OB к оси x вблизи верхней точки O . Приближенно имеем

$$\alpha = \frac{\gamma(1 + \sin \rho)x}{6H \sin \rho} = \frac{\gamma(1 + \sin \rho)x}{6k \cos \rho}, \quad \beta = \frac{\gamma x}{3H \sin \rho} = \frac{\gamma x}{3k \cos \rho}$$

Отсюда видно, что при фиксированных γ и k углы α и β возрастают с увеличением угла внутреннего трения ρ .

Найденное уравнение (2.5) устанавливает также предельный контур устойчивого свода, предполагая, что прямолинейная граница — ось x свободна от напряжений.

Перейдем теперь к случаю, когда нормальное давление $p = P$, контур полу свода имеет в верхней точке O вертикальную касательную (фиг. 5), а полу свод переходит в откос. Покажем как найти приближенное решение около точки O опять-таки в замкнутой форме.

Обратим внимание, что кривая разрыва заменяется прямой OA , наклоненной к оси x под углом $1/2 \pi - \mu$, т. е. переходит в характеристику. Простейшее поле напряжений в области xOA на основании (1.7) при $p = P$ определяется величинами

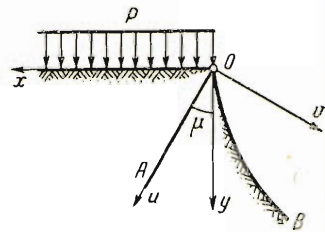
$$\sigma = \sigma_0 + \frac{\gamma y}{1 + \sin \rho}, \quad \varphi = \frac{1}{2} \pi, \quad \sigma_0 = \frac{H}{1 - \sin \rho}$$

Наряду с системой координат xy здесь удобно применять систему uv , повернутую относительно xy на угол $1/2 \pi - \mu$, имея в виду, что

$$u = x \sin \mu + y \cos \mu, \quad v = y \sin \mu - x \cos \mu$$

или обратно

$$x = u \sin \mu - v \cos \mu, \quad y = v \sin \mu + u \cos \mu$$



Фиг. 5

Применительно к системе координат uv , уравнения (1.5) могут быть представлены так

$$\begin{aligned} -\operatorname{tg} \varphi \left[\frac{\partial \sigma}{\partial u} - 2\sigma \operatorname{tg} \rho \frac{\partial \varphi}{\partial u} \right] + \left[\frac{\partial \sigma}{\partial v} - 2\sigma \operatorname{tg} \rho \frac{\partial \varphi}{\partial v} \right] &= \frac{\gamma \cos(\varphi + \mu)}{\cos \rho \cos \varphi} \\ \operatorname{ctg}(\varphi - \rho) \left[\frac{\partial \sigma}{\partial u} + 2\sigma \operatorname{tg} \rho \frac{\partial \varphi}{\partial u} \right] + \left[\frac{\partial \sigma}{\partial v} + 2\sigma \operatorname{tg} \rho \frac{\partial \varphi}{\partial v} \right] &= \frac{\gamma \cos(\varphi - \mu)}{\cos \rho \sin(\varphi - \rho)} \end{aligned}$$

Покажем теперь, как найти приближенное решение около прямой характеристики OA . Положим

$$\sigma = \sigma_0 + \frac{\gamma y}{1 + \sin \rho} \quad S = \sigma_0 + \frac{\gamma(u \cos \mu + v \sin \mu)}{2 \cos^2 \mu} - S, \quad \varphi = \frac{1}{2}\pi + \Phi$$

и будем считать S , Φ и v малыми величинами.

Подставим в предыдущие уравнения величины (2.7), а затем, оценивая порядок различных членов, отбросим те из них, которые малы по сравнению с остальными. Приближенно будем иметь

$$\begin{aligned} \frac{\partial S}{\partial v} - 2\sigma(u) \operatorname{tg} \rho \frac{\partial \Phi}{\partial v} &= 0 \\ \left[\frac{\partial S}{\partial u} + 2\sigma(u) \operatorname{tg} \rho \frac{\partial \Phi}{\partial u} \right] + \left[\frac{\partial S}{\partial v} + 2\sigma(u) \operatorname{tg} \rho \frac{\partial \Phi}{\partial v} \right] \Phi &= -\gamma \frac{\operatorname{tg} \rho}{\cos \mu} \Phi \end{aligned} \quad (2.8)$$

Здесь и далее для удобства принято следующее обозначение:

$$\sigma(u) = \sigma_0 + \frac{\gamma u}{2 \cos \mu} = \frac{\gamma(u + u_0)}{2 \cos \mu}, \quad u_0 = \frac{2\sigma_0}{\gamma} \cos \mu$$

Первое уравнение вместе с граничными условиями $\Phi = S = 0$ при $v = 0$ имеет интеграл

$$S = 2\sigma(u) \operatorname{tg} \rho \Phi \quad (2.9)$$

а второе уравнение может быть преобразовано следующим образом:

$$\frac{\partial \Phi}{\partial u} + \Phi \frac{\partial \Phi}{\partial v} + \frac{\Phi}{u + u_0} = 0$$

Интеграл этого уравнения содержит произвольную функцию F и имеет вид:

$$v + (u + u_0) \Phi \ln \Phi = F[(u + u_0) \Phi] \quad (2.10)$$

причем граничное условие $\Phi = 0$ при $v = 0$ устанавливает, что $F(0) = 0$.

Условия (1.10) вдоль кривой OB могут быть представлены так:

$$\frac{dy}{dx} = -\frac{1}{\Phi}, \quad S = \frac{\gamma y}{1 + \sin \rho} \quad (2.11)$$

Интегралы (2.9) и (2.10) и условия (2.11) дают возможность найти уравнение кривой OB , а также функции Φ и S . Ограничимся определением контура, для чего составим два уравнения:

$$-\frac{dy}{dx} = \frac{1}{\Phi} = \frac{(u + u_0) \sin \rho}{y \sin \mu}$$

Отсюда, принимая обозначение

$$y_0 = \frac{u_0}{\cos \mu} = \frac{2H}{\gamma(1 - \sin \rho)}$$

легко получить

$$y \frac{dy}{dx} + \operatorname{tg} \rho (1 + \sin \rho) (y + y_0 + x \operatorname{tg} \rho) = 0$$

или приближенно следующее уравнение:

$$\frac{dy}{dx} + \operatorname{tg} \rho (1 + \sin \rho) \left(1 + \frac{y_0}{y}\right) = 0$$

Оно должно быть проинтегрировано с учетом граничных условий $y = 0$ при $x = 0$. Окончательно будем иметь следующее уравнение:

$$x = -\frac{\operatorname{ctg} \rho}{1 + \sin \rho} \left[y - y_0 \ln \left(1 + \frac{y}{y_0}\right) \right] \approx -\frac{\gamma}{4k} \frac{1 - \sin \rho}{1 + \sin \rho} y^2$$

или такое уравнение:

$$y^2 = -\frac{4k}{\gamma} \frac{1 + \sin \rho}{1 - \sin \rho} x \quad (2.12)$$

которое приближенно устанавливает контур откоса около верхней точки O .

Вернемся теперь к интегралу (2.10) в частном случае идеально-сыпучей среды ($k = 0$), который исключался в предыдущих рассуждениях, и будем предполагать, что в рассматриваемой задаче отсутствует характерная длина l . Так как при этом величина

$$\frac{F(u\Phi)}{u} = \frac{F(l\bar{u}\Phi)}{l\bar{u}} \quad (u = l\bar{u})$$

не должна зависеть от l , то указанная произвольная функция

$$F(u\Phi) = Cu\Phi$$

а интеграл (2.10) принимает вид

$$v = u\Phi(C - \ln \Phi)$$

Это соотношение было получено Т. Карманом [3] как интеграл системы уравнений предельного равновесия для весомого клина из идеально-сыпучей среды, в котором величины всех компонент напряжения пропорциональны расстояниям от вершины клина.

§ 3. Полусводы и своды в идеально-связной среде. Обратимся теперь к так называемой идеально-связной среде, которая обладает сцеплением, но лишена внутреннего трения, и установим для такой среды предельные формы устойчивых полусводов и сводов.

Плоское предельное равновесие идеально-связной среды с объемным весом γ и коэффициентом сцепления k описывается теми же дифференциальными уравнениями равновесия (1.1) и условием предельного состояния

$$\frac{1}{4} (\sigma_x - \sigma_y)^2 + \tau_{xy}^2 = k^2$$

следующим из (1.2) при $\rho = 0$.

Такую систему уравнений удобно изучать путем перехода к новым переменным s и φ , связанным с компонентами напряжения так:

$$\left. \begin{array}{l} \sigma_x \\ \sigma_y \end{array} \right\} = s \pm k \cos 2\varphi, \quad \tau_{xy} = k \sin 2\varphi \quad (3.1)$$

Подставляя в дифференциальные уравнения равновесия (1.1) выражения (3.1), найдем

$$\begin{aligned} \frac{\partial s}{\partial x} - 2k \left[\sin 2\varphi \frac{\partial \varphi}{\partial x} - \cos 2\varphi \frac{\partial \varphi}{\partial y} \right] &= 0 \\ \frac{\partial s}{\partial y} + 2k \left[\cos 2\varphi \frac{\partial \varphi}{\partial x} + \sin 2\varphi \frac{\partial \varphi}{\partial y} \right] &= \gamma \end{aligned} \quad (3.2)$$

или, после простых преобразований, получим

$$\left[\frac{\partial s}{\partial x} + 2k \frac{\partial \varphi}{\partial x} \right] + \operatorname{tg} \left(\varphi + \frac{1}{4} \pi \right) \left[\frac{\partial s}{\partial y} + 2k \frac{\partial \varphi}{\partial y} - \gamma \right] = 0 \quad (3.3)$$

Эта система уравнений также принадлежит к гиперболическому типу и имеет два вещественных семейства характеристик. После замены $\sigma = s + H$ и предельного перехода

$$\rho \rightarrow 0, \quad \sigma \operatorname{tg} \rho = (s + H) \operatorname{tg} \rho \rightarrow k$$

вместо (1.6) будем иметь

$$dy = dx \operatorname{tg} \left(\varphi + \frac{1}{4} \pi \right), \quad \frac{s - \gamma y}{2k} + \varphi = \operatorname{const} \quad (3.4)$$

Характеристики — линии скольжения составляют теперь два ортогональных свойства и наклонены к оси x под углами $\varphi + \frac{1}{4} \pi$.

Займемся опять-таки нахождением поля напряжений и предельного контура устойчивого полусвода, переходящего в нижней части в откос, считая, что вдоль горизонтальной границы — положительной полуоси x — задано равномерно распределенное нормальное давление $\sigma_y = p$.

Будем попрежнему через α и β обозначать углы между осью x и касательными к кривым OA и OB , а через α_0 и β_0 — их значения в верхней точке O .

В области xOA образуется простейшее поле напряжений, даваемое величинами

$$s = \gamma y + p - k, \quad \varphi = \frac{1}{2} \pi \quad (3.5)$$

или компонентами напряжения

$$\sigma_x = \gamma y + p - 2k, \quad \sigma_y = \gamma y + p, \quad \tau_{xy} = 0$$

а сетка характеристик составлена двумя ортогональными семействами параллельных прямых: $y = \pm x + \operatorname{const}$.

Остановимся теперь на граничных условиях вдоль кривых OA и OB , используя систему координат tn , повернутую по отношению к системе xy на угол ε . Можно показать, что

$$\left. \begin{aligned} \sigma_t \\ \sigma_n \end{aligned} \right\} = s \pm k \cos 2(\varphi - \varepsilon), \quad \tau_{tn} = k \sin 2(\varphi - \varepsilon) \quad (3.6)$$

Прежде всего ясно, что вдоль кривой OA , которая наклонена к оси x под переменным углом α , компоненты напряжения σ_n и τ_{tn} непрерывны, а компонента σ_t имеет конечный разрыв. Поэтому из уравнений (3.5) и (3.6) при $\varepsilon = \beta$ получим

$$\frac{s}{k} - \cos 2(\varphi - \alpha) = \frac{\gamma y + p}{k} - 1 + \cos 2\alpha$$

$$\sin 2(\varphi - \alpha) = \sin 2\alpha$$

и скачок компоненты напряжения

$$\sigma_t^+ - \sigma_t^- = 4k \cos \varphi \cos (2\alpha - \varphi) \geq 0$$

Отсюда следуют соотношения

$$\sin(2\alpha - \varphi) = 0, \quad \cos(2\alpha - \varphi) \geq 0$$

устанавливающие, что

$$2\alpha = \varphi, \quad \sigma_t^+ - \sigma_t^- = 4k \cos 2\alpha$$

Таким образом будем иметь

$$\frac{dy}{dx} = \operatorname{tg} \alpha, \quad \varphi = 2\alpha, \quad s = \gamma y + p + k(2 \cos 2\alpha - 1) \quad (3.7)$$

Далее очевидно, что вдоль кривой OB компоненты напряжения $\sigma_n = \tau_{tn} = 0$, а компонента $\sigma_t > \sigma_n$. Итак, на основании данных выше уравнений (3.6) при $\varepsilon = \beta$ найдем

$$\frac{dy}{dx} = \operatorname{tg} \beta, \quad \varphi = \beta, \quad s = k \quad (3.8)$$

В области AOB поле напряжений может быть получено путем численного решения уравнений характеристик (3.4) по граничным данным (3.7) и (3.8) вдоль кривых OA и OB , которые уже были приведены выше.

Значения углов $\alpha = \alpha_0$ и $\beta = \beta_0$ в верхней точке O могут быть выражены через заданное давление p . Действительно, полагая $\alpha = \alpha_0$ и $\varphi = \beta_0$, получим

$$2\alpha_0 = \beta_0 \quad (3.9)$$

а приравнивая величины s , взятые при $y = 0$ по предыдущим формулам (3.7) и (3.8), установим зависимость между давлением p и углом β_0 в виде

$$p = 2k(1 - \cos \beta_0) \quad (3.10)$$

Значения α_0 , β_0 и p изменяются в пределах

$$0 \leq \alpha_0 \leq \frac{1}{4}\pi, \quad 0 \leq \beta_0 \leq \frac{1}{2}\pi, \quad 0 \leq p \leq 2k$$

причем $\beta_0 = 0$ соответствует $p = 0$, а $\beta_0 = \frac{1}{2}\pi$ отвечает $p = 2k$.

Заметим, что при $\gamma = 0$ искомые кривые OA и OB превращаются в прямые, а полусвод переходит в невесомый остроугольный клин из идеально-связной среды. Углы $\alpha = \alpha_0$ и $\beta = \beta_0$ наклона этих прямых OA и OB к оси x даются теми же формулами (3.9) и (3.10), впервые полученными В. Прагером [4].

Действие собственного веса существенным образом изменяет вид предельного равновесия идеально-связной среды. Кривая OA и контур OB искривляются так, что при движении от точки O углы α и β увеличиваются от $\alpha = \alpha_0$ и $\beta = \beta_0$ до $\alpha = \frac{1}{4}\pi$ и $\beta = \pi$ на бесконечности; при этом величина скачка компоненты σ_t постепенно уменьшается до нуля.

В качестве примера выполнено решение задачи для $\beta_0 = \frac{1}{4}\pi$ обычными методами численного интегрирования уравнений (3.4). Построена сетка характеристик — линий скольжения (фиг. 6); получены безразмерные координаты $\gamma x/k$ и $\gamma y/k$ точек кривой разрыва:

$$\begin{array}{cccccccc} \gamma x/k & = & 0.05 & 0.12 & 0.22 & 0.33 & 0.48 & 0.65 & 0.86 & 1.09 \\ \gamma y/k & = & 0.02 & 0.05 & 0.10 & 0.14 & 0.22 & 0.30 & 0.40 & 0.53 \end{array}$$

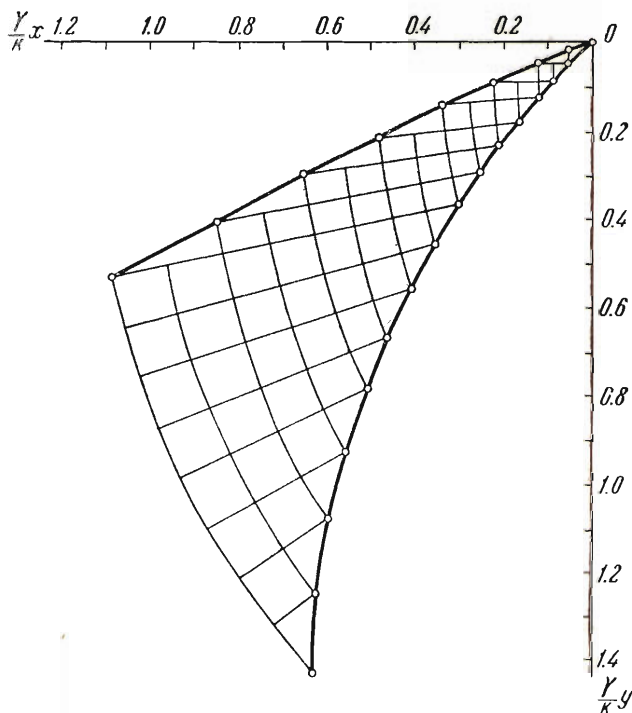
и точек искомого контура:

$$\begin{array}{cccccccc} \gamma x/k & = & 0.00 & 0.05 & 0.09 & 0.12 & 0.17 & 0.21 & 0.26 & 0.30 \\ \gamma k/k & = & 0.00 & 0.05 & 0.09 & 0.13 & 0.18 & 0.24 & 0.30 & 0.36 \\ \gamma x/k & = & 0.36 & 0.41 & 0.47 & 0.51 & 0.56 & 0.60 & 0.63 & 0.64 \\ \gamma y/k & = & 0.46 & 0.55 & 0.67 & 0.78 & 0.93 & 1.08 & 1.25 & 1.43 \end{array}$$

Заметим, что при $p = 2k$ углы

$$\alpha = \alpha_0 = \frac{1}{4}\pi, \quad \beta_0 = \frac{1}{2}\pi$$

а кривая разрыва OA вырождается в прямую, наклоненную к оси x под углом $1/4\pi$, т. е. в характеристику, на которой нет разрывов. При этом нависающая часть пропадает и остается лишь предельный откос с вертикальной касательной в точке O .



Фиг. 6

Контур такого откоса, как известно ^[1], определяется простым уравнением

$$x = \frac{2k}{\gamma} \ln \cos \left(\frac{\gamma y}{2k} \right) \quad \text{или} \quad y = \frac{2k}{\gamma} \arccos \left[\exp \left(\frac{\gamma x}{2k} \right) \right]$$

Около верхней точки O последнее уравнение приближенно может быть представлено так:

$$y^2 = -\frac{4k}{\gamma} x$$

В отношении определения предельных контуров устойчивых сводов следует отметить, что здесь остаются в силе все рассуждения конца § 1.

Остановимся на приближенных решениях в двух частных случаях, разобранных в § 2, и получим соответствующие формулы путем замены $\sigma = s + H$ и предельного перехода $p \rightarrow 0$, $u_0 \rightarrow \infty$.

В частном случае, когда давление $p = 0$ и контур в верхней точке O имеет горизонтальную касательную, выражения (2.1) принимают более простой вид:

$$s = k - S, \quad \varphi = \Phi \quad (3.11)$$

а интегралы (2.2) напишутся так:

$$\Phi = \Phi(x), \quad S = [2k\Phi'(x) - \gamma]y + f(x) \quad (3.12)$$

При этом условия (2.3) вдоль кривой OA , определяемой уравнением $y = y_1(x)$, будут.

$$\frac{dy_1}{dx} = \alpha = \frac{\Phi}{2}, \quad S = k\Phi^2 - \gamma y_1$$

а условия (2.4) вдоль кривой OB , даваемой уравнением $y = y_2(x)$, останутся прежними:

$$\frac{dy_2}{dx} = \beta = \Phi, \quad S = 0$$

Последующие рассуждения ничем не отличаются от приведенных в § 2, так, что

$$y_2 = 2y_1, \quad S = [2k\Phi'(x) - \gamma][y - y_2(x)]$$

Вместо (2.5) теперь получим уравнения

$$y = \frac{\gamma x^2}{12k}, \quad y = \frac{\gamma x^2}{6k} \quad (3.13)$$

а вместо (2.6) будем иметь выражения

$$\Phi = \frac{\gamma x}{3k}, \quad S = \frac{\gamma}{3} \left(\frac{\gamma x^2}{6k} - y \right) \quad (3.14)$$

которые определяют кривые OA и OB и напряженное состояние полусвода около верхней точки O .

Приведем также углы наклона кривых OA и OB к оси x вблизи точки O . Приближенно имеем

$$\alpha = \frac{\gamma x}{6k}, \quad \beta = \frac{\gamma x}{3k}$$

Эти углы меньше, чем соответствующие углы при наличии внутреннего трения, т. е. когда $\rho \neq 0$.

В другом частном случае, когда давление $p = 2k$ и контур имеет в верхней точке O вертикальную касательную, выражения (2.7) принимают такой вид:

$$s = k + \gamma y - S, \quad \varphi = \frac{1}{2}\pi + \Phi \quad (3.15)$$

а интегралы (2.9) и (2.10) будут

$$S = 2k\Phi, \quad v = u\Phi + F(\Phi)$$

При этом условия (2.11) вдоль кривой OB несколько упрощаются

$$\frac{dy}{dx} = -\frac{1}{\Phi}, \quad S = \gamma y$$

и дают возможность получить

$$\frac{dy}{dx} + \frac{2k}{\gamma y} = 0$$

Вместо (2.12) теперь имеет место уравнение

$$y^2 = -\frac{4k}{\gamma} x \quad (3.16)$$

которое устанавливает контур откоса около верхней точки O . Это приближенное уравнение уже было получено выше непосредственно из точного уравнения.

В заключение отметим, что в предыдущих рассуждениях совсем не обязательно, чтобы граница связной среды была горизонтальной прямой; она может быть также наклонной прямой или даже кривой.

Поступила 25 X 1955

Институт механики
Академии наук СССР

ЛИТЕРАТУРА

1. Соколовский В. В. Статика сыпучей среды. Издание первое. Изд. АН СССР, 1942. Издание второе. Гостехиздат, 1954.
2. Шапиро Г. С. О предельном равновесии сыпучего клина и о разрывном решении статики сыпучей среды. ПММ, т. XVI, вып. 2, 1952.
3. Schield R. T. Stress and velocity fields in soil mechanics. Journal of Mathematics and Physics, Vol. XXXIII, № 2, 1954.
4. Kármán T. Ueber elastische Grenzzustände. Verhandlungen des zweiten Internationalen Kongresses für technische Mechanik. Zürich, 1927.
5. Prager W. Discontinuous solutions in the theory of plasticity. Courant Anniversary, Volume, 1948.